

高潮氾濫数値シミュレーションモデルの伊勢湾・長島輪中への適用

京都大学 防災研究所 正会員 土屋 義人
" " 山下 隆男
神戸製鋼所 " 。 杉本 浩

1. 緒言 河川・海岸堤防の欠壊による洪水・高潮氾濫災害の予測法を確立すりとつの手段として、最近氾濫数値シミュレーションが用いられるようになり、(主に)。本研究では、高潮数値計算と氾濫数値計算と接続した高潮氾濫数値シミュレーションモデルを、伊勢湾台風時の伊勢湾湾奥の長島輪中へ適用し、モデルの特性を検討した。

2. 散值モデル 高潮および氾濫面積計算とともに单層モデルとし、前者は図-1に示すよう
に、空間を $\Delta X = 1\text{ km}$ および 250 m の広・狭領域に分割し、後者は $\Delta x = 50\text{ m}$ の氾濫域
として、3領域についての同時接続計算を行う。(a)基礎式は、次式のようである。

$$\begin{aligned} \frac{\partial M}{\partial t} \frac{\partial (UN)}{\partial x} + \frac{\partial (VN)}{\partial y} &= -g(h+\eta) \left(\frac{\partial(h+\eta)}{\partial x} \frac{\partial P}{\partial x} \right) + \frac{1}{\rho_a} (\tau_{sx} - \tau_{bx}) + \nu_N \left(\frac{\partial^2 N}{\partial x^2} \frac{\partial^2 N}{\partial y^2} \right) + fN \\ \frac{\partial N}{\partial t} \frac{\partial (UN)}{\partial x} + \frac{\partial (VN)}{\partial y} &= -g(h+\eta) \left(\frac{\partial(h+\eta)}{\partial y} \frac{\partial P}{\partial y} \right) + \frac{1}{\rho_a} (\tau_{sy} - \tau_{by}) + \nu_H \left(\frac{\partial^2 H}{\partial x^2} \frac{\partial^2 H}{\partial y^2} \right) + fH \\ \frac{\partial \eta}{\partial t} \frac{\partial M}{\partial x} + \frac{\partial N}{\partial x} &= 0 \\ \frac{\partial t}{\partial x} \frac{\partial x}{\partial u} &= 0 \end{aligned} \quad \text{--- --- --- --- (1)}$$

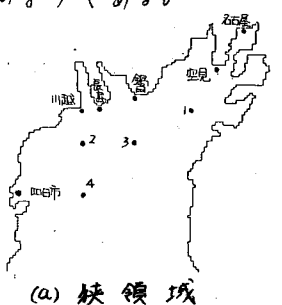
ここで、 $U = \frac{1}{(h+\eta)} \int_{-h}^h u dz$, $V = \frac{1}{(h+\eta)} \int_{-h}^h v dz$, $U = (h+\eta)U$, $V = (h+\eta)V$, η : 水位変動, u : 水深 t_s , t_b ; 海面および海底せん断応力, f : Coriolis係数, α : 水平運動粘性係数および g : 重力の加速度である。④この基礎式を差分法によつて数値的に解く。すなわち、時間について Leap-frog 法、空間について中央差分を用い、40ステップに一度、松野法を併用した。

(c)台風モデルは藤田の式を用い、モデル定数は $C_1 = C_2 = 0.6$, $r_0 = 25\text{km}$ とした。図-2に伊良湖における風速ベクトルおよび気圧の時間的変化を示す。④高潮計算における広・狭領域の接続は、広領域の1メッシュおよび狭領域の4メッシュとオーバーラップすることで、広領域から狭領域への水位変動および流量フラックスの変換は面積による重み

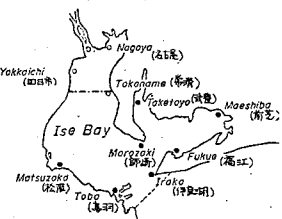
付けにより、下逆の場合には接続格子内の平均値による。一方、高潮浸食域と氾濫計算領域との接続は、破堤時に Δ で破壊時の Ritter の式を適用し、その後は両接続格子実間の水位差を一定値を規定した。 Δ 高潮計算の開境界条件は、図-1(b)の TBB 法

上で、伊良湖における気圧の観測値を水柱換算して与え、固定境界では両計算とも完全反射とした。(b)泥濁計算における泥濁水の先端条件は、限界浸水深 $z_c = 0.0001\text{m}$ を設定し、これを越える水位についてドライベット上にフロントが侵入することとした。(g)また、底面摩擦の評価は Manning の粗度係数を地物により与えることによった。すなわち、水田・畠地では $n = 0.025$ 、定地・道路で $n = 0.04$ と設定した。

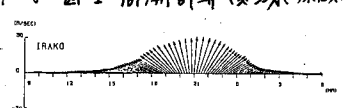
Yoshito TSUCHIYA · Takao YAMASHITA · Hiroshi SUGIMOTO



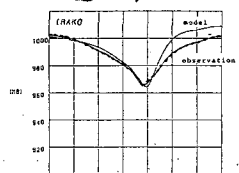
(a) 狹 鎮 城



卷之三



(a) 風速 ヘクトル



(b) 氮压

3. 數値計算の結果 高潮計算領域の水深は、昭和39年の海図から読み取り。氾濫領域は、現在の長島町の地物および地盤高(TP上)と図-3に示すように与えた。時間ステップは、広領域(5sec), 狹領域(2.5sec)および氾濫域(0.1sec)とした。気象外力は伊勢湾台風を対象とし、潮流解析は省略した。

図-4は高潮偏差の計算結果の一例と、実測値(破線)とを示したもので、名古屋港での偏差はかなり小さく計算されており、これはforerunner時からその傾向がみられ今後検討を要する点のみであります。図-5は最大偏差直前の湾内の流況図を示したもので、狭領域において反時計回りの大玉状セルが形成されていることがわかる。一方、図-6は伊勢湾台風による被災時の長島における輪中堤の破堤長と破堤時刻をまとめたもので氾濫計算においてはこれを参考にして、破堤時刻は

9月26日21時とし、破堤長および破堤箇所はこれに従った。なお、松ヶ島および大島地区の箇所の破堤を、国道1号線の北側に移し、道路の盛土による2次堤防の効果を調査することとした。図-7は破堤後15分および25分後の氾濫水の流況および浸水深を示したもので、同時破堤の場合には約15分で輪中南部全域が浸水し、約1時間で全域が浸水するが、国道1号線の2次堤防としての機能は極めて大きいことがわかる。なお図中、太い境界線が破堤箇所を示す。

4. 結語 以上のように、高潮およびその氾濫数値計算を同時に接続して実行する数値モデルを示した。今後はモデルの改良を行いつつも、これを災害予測モデルへと拡張していく必要がある。

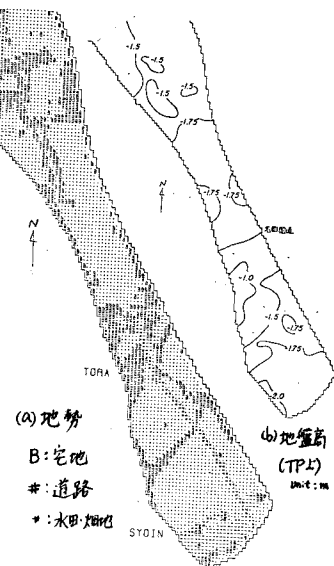


図-3 気温計算領域

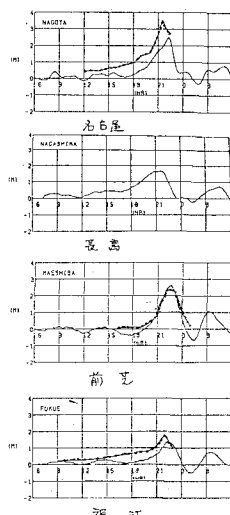


図-4 高潮偏差の計算結果
(破線は実測値)

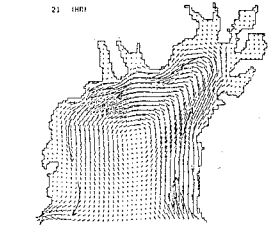


図-4(b) 狹領域

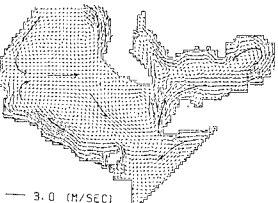


図-5 高潮計算の流況(9月26日21時)

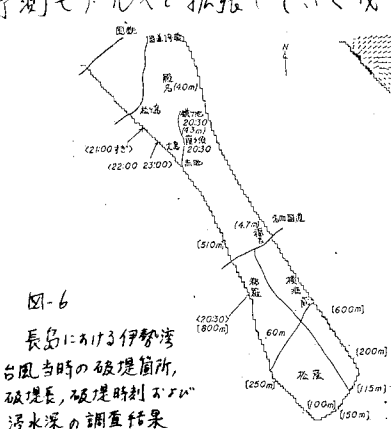


図-6

長島における伊勢湾台風時の破堤箇所、
破堤長、破堤時刻および
浸水深の調査結果

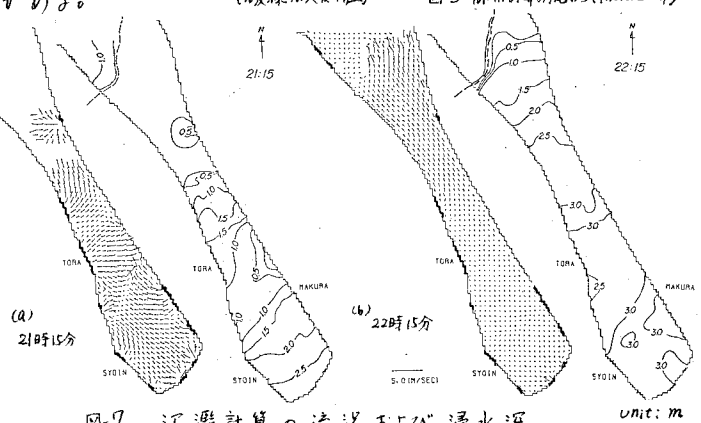


図-7 気温計算の流況および浸水深